

ΟΡΥΚΤΟΛΟΓΙΚΗ ΚΑΙ ΓΕΩΧΗΜΙΚΗ ΜΕΛΕΤΗ ΤΟΥ Fe-Ni-ΟΥΧΟΥ ΛΑΤΕΡΙΤΗ ΤΗΣ ΠΕΡΙΟΧΗΣ ΠΑΛΑΙΟΧΩΡΙΟΥ (ΝΟΜΟΣ ΓΡΕΒΕΝΩΝ)

Α.Ορφανουδάκης*, Ε.Μπόσκος* και Ι.Καστρίτης**

Περιληψη

Ο Fe-Ni-ούχος λατερίτης, της περιοχής Παλαιοχωρίου, στο νομό Γρεβενών, σχηματίσθηκε από την χημική αποσάρθρωση του υποκείμενου σερπεντινιωμένου χαρτοβουργίτη. Τα κύρια ορυκτά του λατερίτη είναι ο Ni-ούχος μαγνητίτης και τα Ni-ούχα ορυκτά της ομάδας των σερπεντινών. Τα τελευταία είναι Fe-ούχα στη βάση του λατερίτη και Al-Fe-ούχα στους ανώτερους ορίζοντες. Μεταξύ του λατερίτη και του σερπεντινιωμένου χαρτοβουργίτη παρεμβάλλεται η σαπρολιθική ζώνη, στην οποία επικρατούν τα Fe-ούχα μέλη της ομάδας των σερπεντινών.

Η κατανομή των οξειδίων SiO_2 , MgO , $\text{Fe}_2\text{O}_{3\text{tot}}$, Al_2O_3 , Cr_2O_3 και του Ni, στο λατεριτικό προφίλ, δείχνει τυπική εικόνα αυτόχθονου λατερίτη. Το SiO_2 και το MgO μειώνονται, σταδιακά, από τον υποκείμενο σερπεντινιωμένο χαρτοβουργίτη προς το λατερίτη, ενώ, συγχρόνως, αυξάνονται το $\text{Fe}_2\text{O}_{3\text{tot}}$, το Al_2O_3 , το Cr_2O_3 και το Ni. Οι μεγαλύτερες συγκεντρώσεις σε Cr_2O_3 και σε Ni παρουσιάζονται στη βάση της ζώνης του λατερίτη.

Από τη μελέτη των φυσικοχημικών παραγόντων της λατεριτώσης διαπιστώθηκε ότι, κατά τη μετατροπή του πρωτόλιθου σε λατερίτη απομακρύνθηκε το 90% περίπου του βάρους των συστατικών του. Τις μεγαλύτερες απώλειες παρουσιάζουν το SiO_2 και το MgO (>96% και 98%, αντίστοιχα, σε σχέση με εκείνα που περιείχοντο στον πρωτόλιθο). Οι απώλειες σε $\text{Fe}_2\text{O}_{3\text{tot}}$ ανέρχονται σε »11%, σε Cr_2O_3 »9% και σε Ni »35%. Στη ζώνη του σαπρολιθίου απομακρύνθηκε το »55% του SiO_2 και το »67% του MgO , ενώ, συγχρόνως, προστέθηκαν $\text{Fe}_2\text{O}_{3\text{tot}}$ κατά 19%, Cr_2O_3 κατά 16% και Ni κατά 50%.

Sommaire

Le laterite nickelifère de la région de Paleochori (Prefecture de Grevena), est forme de l' alteration chimique du hartzburgite sousjacent, avant la transgression du Miocene.

Les minéraux le plus importants du laterite sont le magnetite, riche en Ni, et les minéraux nickelifères du group de serpentine. Ces derniers sont Fe-fères à la base du laterite et Al-Fe-fères dans les horizons supérieures.

Entre le laterite et le hartzburgite serpentinise se trouve une zone saprolithique, dans laquelle dominent les minéraux, riches en Fe, du group de serpentine.

La distribution des oxydes SiO_2 , MgO , $\text{Fe}_2\text{O}_{3\text{tot}}$, Al_2O_3 , Cr_2O_3 et du Ni dans le profile lateritique correspond à un profile typique de laterite autochtone. Le pourcentage en SiO_2 et MgO décroît, progressivement, du hartzburgite sousjacent vers le laterite, tandis que, en même temps, le pourcentage en $\text{Fe}_2\text{O}_{3\text{tot}}$, Al_2O_3 et Cr_2O_3 et Ni augmente. Les concentrations le plus élevées en Cr_2O_3 et Ni se trouvent à la base de la zone du laterite.

* Εθνικό Μετσόβιο Πολυτεχνείο, Τμήμα Μηχανικών Μεταλλείων-Μεταλλουργών, Τομέας Γεωλογικών Επιστημών.
Ecole Polytechnique d' Athènes. Departement des Ingénieurs de Mines et Metallurgistes. Section des Sciences Géologiques.

** Ινστιτούτο Γεωλογικών και Μεταλλευτικών Ερευνών.
Institut de Recherches Géologiques et Minieres.

De l' etude des facteurs physicochimiques de l' alteration est constate que, pendant la transformation du protolite en laterite est eloigne le 90% du poid initial de la roche. Le SiO_2 et MgO ont subi les pertes le plus importants (~96% et 98% respectivement).

Les pertes en $\text{Fe}_2\text{O}_{3\text{tot}}$ arrivent a ~11%, en Cr_2O_3 a ~9%, et en Ni a~35%. Dans la zone saprolitique le ~55% du SiO_2 est eloigne, ainsi que le ~67% du MgO , tandis que, en meme temps, sont ajoutes 19% de $\text{Fe}_2\text{O}_{3\text{tot}}$, 19% de Cr_2O_3 et 50% du Ni.

Εισαγωγή

Fe-Ni-ούχα λατεριτικά κοιτάσματα, τα οποία αποτελούν αντικείμενο εντατικής εξμετάλλευσης, εμφανίζονται στη Λοκρίδα και Κεντρική Εύβοια. Οι λατερίτες αυτοί προέκυψαν από την αποσάθωση υπερμαφικών πετρωμάτων και εναποτέθηκαν κατά την Κενομάνιο επίκλυση, σε καρστικά έγκοιλα Τριαδικο-Ιουρασικών ασβεστολίθων ή πάνω από σερπεντίνες και στη συνέχεια καλύφθησαν από ασβεστόλιθους του Ανώτερου Κρητιδικού.

Fe-Ni-ούχα λατεριτικά μεταλλεύματα εμφανίζονται και στη Δυτική Μακεδονία και Θεσσαλία (Πλαστήρας, 1980, Βραχάτης, 1977, Skarpelis et al., 1993). Τα μεταλλεύματα αυτά υπέρχουνται υπερμαφικών πετρωμάτων, από την αποσάθωση των οποίων προέκυψαν και καλύπτονται από μολασσικά ίζηματα, της Μεσοελληνικής αύλακας, ολιγοκαινικής ηλικίας, στο δυτικό περιθώριο της αύλακας και μειοκαινικής, στο ανατολικό της περιθώριο. Εντός της Μεσοελληνικής αύλακας εμφανίζονται και ορίζοντες από χλαστικά ίζηματα, πλούσια σε Fe και Ni (Ni από 0,4 έως 1,1%), οι οποίοι προήλθαν από την απόθεση υλικού λατεριτώσης των υπερβασικών πετρωμάτων.

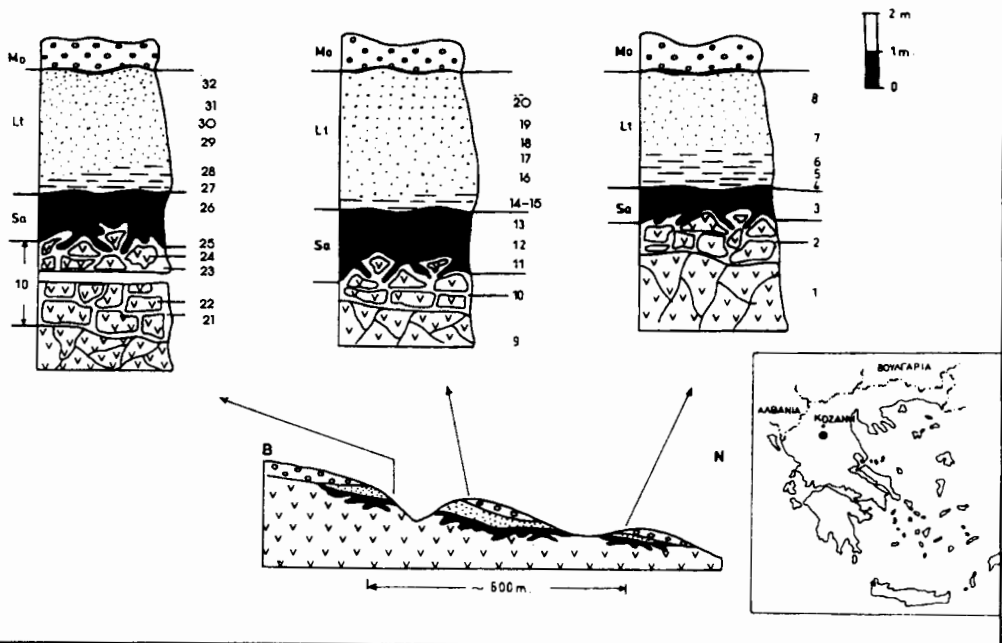
Τα σημαντικότερα Fe-Ni-ούχα μεταλλεύματα, βρίσκονται στο ανατολικό περιθώριο της Μεσοελληνικής αύλακας, στην περιοχή Ιεροπηγής, στο νομό Καστοριάς. Κατά τους Skarpelis et al. (1993), η λατεριτώση των υπερβασικών πετρωμάτων έλαβε χώρα πριν από το Κενομάνιο, τα δε κοιτάσματα, τα οποία οι παραπάνω ερευνήτες θεωρούν ως αλλόχθονα, προέκυψαν με την απόθεση των προϊόντων αποσάθωσης του λατεριτικού μανδύα, κατά την Κενομάνιο επίκλυση.

Η Fe-Ni-ούχος μεταλλοφορία της περιοχής Παλαιοχωρίου, η οποία αποτελεί αντικείμενο της παρούσας εργασίας, βρίσκεται στο ανατολικό περιθώριο της Μεσοελληνικής αύλακας, όπως και η Fe-Ni-ούχος μεταλλοφορία της περιοχής Ιεροπηγής. Τα μακροσκοπικά χαρακτηριστικά, η πετρογραφία και η γεωχημεία του μεταλλεύματος Παλαιοχωρίου, όπως θα αναπτυχθούν στη συνέχεια, ενισχύουν την άποψη ότι πρόκειται για ένα αυτόχθονο Fe-Ni-ούχο λατερίτη, ο οποίος σχηματίσθηκε πριν από την επίκλυση του Μειόκαινου.

Γεωλογικά στοιχεία

Fe-Ni-ούχος μεταλλοφορία εμφανίζεται σε διάφορες περιοχές του οφιολιθικού συμπλέγματος του Βούρινου (Βακόνδιος και Γρίβας, 1993). Η πλέον αξιόλογη εμφάνιση είναι εκείνη του Παλαιοχωρίου, η οποία απαντά σε απόσταση 1,5 Km, περίπου, ΝΑ του ομώνυμου χωριού και η οποία περιβάλλεται από μολασσικά ίζηματα των σχηματισμών Τσοτιλίου. Στη θέση αυτή, ο λατερίτης, αποκαλύπτεται μαζί με τα υποκείμενα υπερβασικά πετρώματα εξαιτίας της τοπικής διάβρωσης των μολασσικών σχηματισμών, η οποία κατά θέσεις έχει διαβρώσει πλήρως και το λατεριτικό σώμα (Σχ.1).

Η εμφάνιση του λατερίτη Παλαιοχωρίου έχει διεύθυνση ΒΒΔ-ΝΝΑ, μήκος 600 περίπου μέτρων, πλάτος που δεν υπερβαίνει τα 200μ. και μέγιστο πάχος που ανέρχεται στα 3 μέτρα (Σχ.1). Ο λατερίτης είναι μελανοπράσινος, συμπαγής στον κατώτερο ορίζοντα και πισσολιθικός στον ανώτερο. Κάτω από τον ορίζοντα του λατερίτη αναπτύσσεται η σαπρολιθική ζώνη, της οποίας το πάχος, συμπεριλαμβανομένου και του ελαφρά αποσάθωμένου χαρτσισουργίτη, κυμαίνεται από 4 μέτρα στη ΝΝΑ πλευρά, μέχρι 12 μέτρα, στη ΒΒΔ (Σχ.1). Γενικά, όμως, το πάχος της σαπρολιθικής ζώνης, η οποία υπέστει, εντονότερου βαθμού αποσάθωση, κυμαίνεται μεταξύ 1 μέτρου και 2,5 μέτρων (Σχ.1).



Σχ. 1: Γεωλογική τομή και λιθολογικές στήλες του Fe-Ni-ούχου λατερίτη. Παλαιοχωρίου (νομός Γρεβενών).
Fig. 1: Section géologique et colonnes lithologiques du laterite nickelifère de Palaiochori (préfecture de Grevena).

Μέθοδοι έρευνας

Δείγματα από τα υπερβασικά πετρώματα και τον λατερίτη μελετήθηκαν με πολωτικό μικροσκόπιο, σε λεπτές-στιλπνές τομές και με περιθλασμετρία ακτίνων-X. Οι μικροσκοπικές ορυκτών έγιναν με ηλεκτρονικό μικροσκόπιο αναλυτή Jeol Superprobe, 733. Ως πρότυπα χρησιμοποιήθηκαν ορυκτά και συνθετικά οξείδια μετάλλων. Διορθώσεις ZAF έγιναν με ειδικό πρόγραμμα της Jeol, συνδεδεμένο με τον ηλεκτρονικό μικροσκόπιο αναλυτή. Ο συντακτικός τύπος των ορυκτών υπολογίστηκε με ειδικό πρόγραμμα (Περδικάτσης, 1986). Οι χημικές αναλύσεις των πετρωμάτων έγιναν με ατομική απορρόφηση, στα εργαστήρια του ΙΓΜΕ Κοζάνης.

Πετρογραφία

Στο σχήμα 1 δίνονται τρία λατεριτικά προφίλ και η θέση των δειγμάτων που μελετήθηκαν πετρογραφικά και γεωχημικά.

Όπως φαίνεται και από το σχήμα 1, το πέτρωμα που υπέστη τη λατεριτώση είναι ένας σερπεντινιωμένος χαρτοβουργίτης, ο οποίος στη βάση του λατερίτη εμφανίζεται έντονα λατυποποιημένος.

Ο χαρτοβουργίτης παρουσιάζει αδροκυρσταλλικό ιστό και αποτελείται από μεγακυρσταλλούς ολιβίνη και ορθοπυρόξενου. Ο ορθοπυρόξενος περιέχει απομίνεις κλινοπυρόξενου, ο οποίος μετατρέπεται, εν μέρει, σε τρεμολίτη. Ο σερπεντίνης (λιζαρδίτης) εμφανίζεται υπό μορφή φλεβιδίων και αντικαθιστά ολιβίνη και ορθοπυρόξενο. Σε ορισμένα φλεβίδια, ο λιζαρδίτης αντικαθίσταται από σιδηρούχο σερπεντίνη, ο οποίος παρουσιάζει, στη λεπτή τομή, καφετί χρώμα.

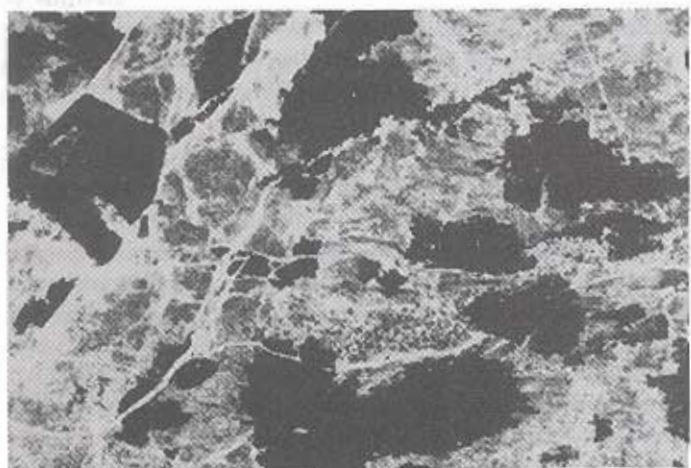
Στις λατύπες διατηρούνται, σε μεγάλο βαθμό, τα πρωτογενή ορυκτά (ολιβίνης, ορθοπυρόξενος και χρωμίτης), ενώ το ποσοστό των σερπεντίνη κυμαίνεται μεταξύ 20% (δείγμα 22) και 100% (δείγμα 9). Το υλικό που περιβάλλει τις λατύπες είναι πλήρως σερπεντινιωμένος χαρτοβουργίτης (Σχ. 1, δείγματα 2, 10, 21 και 23), στον οποίο διατηρείται, υπό μορφή ψευδομορφώσεων, το σχήμα των πρωτογενών ορυκτών. Ο λιζαρδίτης είναι άχρωμος έως ελαφρά κίτρινος και αντικαθίσταται από πράσινο έως καφετί σιδηρούχο σερπεντίνη (Σχ. 2). Οξείδια σιδήρου (κατεξοχή μαγνητίτης), με ακανόνιστο σχήμα, σχηματίζουν συσσωματώματα, σε όλη τη μάζα του πετρώματος (Σχ. 3). Ο μαγνητίτης αυ-



Σχ. 2: Λιζαρδίτης (λευκός), αντικαθίσταται από σκούρο πράσινο έως καφέτι σιδηρούχο σερπεντίνη. Αποσαμβωμένος σερπεντίνης της σαπρολιθικής ζώνης (δεύγμα 23 στο σχ. 1). Διερχόμενο φως //Nicol's X25.

Fig. 2: Lizardite (blanc) est remplacé par Fe-serpentine (vert foncé à brun). Serpentine altere de la zone saprolitique (échantillon 23, fig. 1). Lumière transmise, //Nicol's X25.

λοπυριτικά ορυκτά (Σχ. 4). Φυλλάρια τάλκη και πεννίνη, τα οποία είναι υπόλειμματικά ορυκτά του πρωτόλιθου, παρουσιάζουν κυματοειδή κατάστηση και κάμψεις και είναι, κυρίως, προσανατολιμένια παράλληλα προς τη σχιστότητα του πετρώματος. Συχνά, ο μαγνητής σχηματίζει ιδιόμορφους κρυστάλλους ή πληρεί φλεβίδια. Σε ορισμένες περιπτώσεις πληρεί ωραίες σχέσεις τους θρυμματισμένους κόκκους χρωμάτη. Ο οριζόντας αυτός του λατερίτη, προφανώς, αποτυπώνει τη λατερίτιση μιας έντονα τεκτονισμένης ζώνης του πρωτόλιθου.



Σχ. 3: Συγκεντρώσεις μαγνητή, στον αποσαμβωμένο σερπεντίνη της σαπρολιθικής ζώνης (δεύγμα 23, στο σχ. 1). Διερχόμενο φως, //Nicol's, X65.

Fig. 3: Concretions de magnétite, dans le serpentinite altere de la zone saprolitique (échantillon 23, fig. 1). Lumière transmise, //Nicol's, X65.

τός αντικαθίσταται, εν μέρει, από γκατίτη. Το ποσοστό του μαγνητή και του σιδηρούχου σερπεντίνη αυξάνει σταδιακά προς τη βάση του λατερίτη (δεύγματα 3, 4, 12, 13, 25, 26).

Στη βάση του λατερίτη (δεύγματα 5, 6, 14) το λατερίτιωμένο πέτρωμα παρουσιάζει εμφανή σχιστότητα και πορφυροκλαστικό ύστο, με πεπλατυσμένους οφθαλμοειδείς πορφυροκλάστες σερπεντίνη προσανατολιμένους παράλληλα προς το επίπεδο σχιστότητας του πετρώματος. Συσσωματώματα μαγνητή αντικαθίστανται σε πεπλατυσμένους πορφυροκλάστες σερπεντίνη, προσαδένοντας στο μετάλλευμα "ταινιατή" υφή με εναλλασσόμενες "ταινίες" πλούσιες σε μαγνητή και πλούσιες σε φυλλοπυριτικά ορυκτά του πρωτόλιθου.

Προς τα επάνω, ο λατερίτης γίνεται σταδιακά πισσολιθικός, με αύξηση του ποσοστού των πισσολιθων στους ανώτερους ορίζοντες. Οι πισσόλιθοι αποτελούνται, κατεξοχήν, από μαγνητή, κατά θέσεις μαρτιτιωμένο και περιέχουν εγκλείσματα κόκκων χρωμάτη και φυλλοπυριτικών ορυκτών. Ο χρωμάτης, κατά μήκος φωγιών και περιφερειακά, αντικαθίσταται από μαγνητή (Σχ. 5). Σε ορισμένες περιπτώσεις, το κέντρο των πισσολιθων αποτελείται από αματίτη και φυλλοπυριτικά ορυκτά, τα οποία περιβάλλονται από μια ζώνη μαγνητή (Σχ. 6). Η κύρια μάζα (matrix) αποτελείται, κατεξοχήν, από Fe-ούχα και Fe-Al-ούχα ορυκτά της ομάδας των σερπεντίνων και από κόκκους μα-



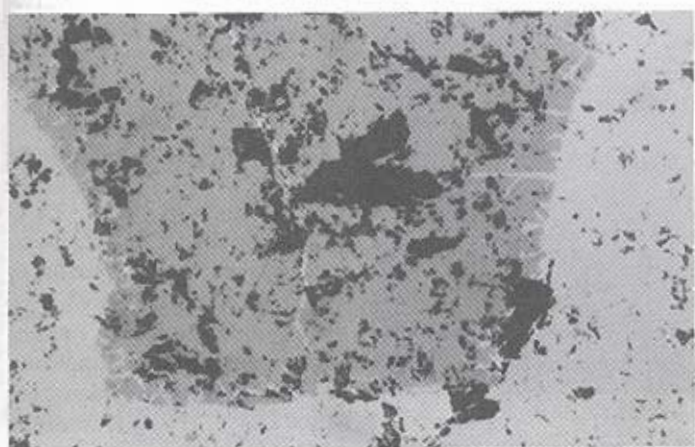
Σχ. 4: Εναλλασσόμενες ταινίες, πλούσιες σε μαγνητίτη (λευκό), με ταινίες πλούσιες σε σιδηρούχα φωλιστικά ορυκτά (γκρι), στη βάση του λατερίτη (δείγμα 14, στο σχ. 1). Ανακλόμενο φως, //Nicol, X100.

Fig. 4: Bandes alternatives, riches en magnetite (blanc) et riches en Fe-phyllosilicates (gris), dans la zone inférieure du laterite (échantillon 14, fig. 1). Lumière réfléchie, //Nicol, X100.

και συνδετικό υλικό, έχουν πληρωθεί με μαγνητίτη. Η διαπίστωση αυτή αποτελεί σαφή ένδειξη ότι, ο μαγνητίτης, τόσο στο λατερίτη όσο και στο κροκαλοπαγές επύκλυσης, σχηματίστηκε, εις βάρος του αιματίτη ή και λειμωνάτη, κατά τη διαγένεση, κατά την οποία επικρατούσαν αναγωγικές συνθήκες.

Ορυκτοχημεία:

Ολιβίνης: Αντιπροσωπευτικές μικροαναλύσεις ολιβίνης δίδονται στον πίνακα 1. Πρόκειται για μαγνησιούχο ολιβίνη Fo(90.7-91.7), του οποίου η περιεκτικότητά σε NiO κυμαίνεται μεταξύ 0,20% και 0,59%.



Σχ. 5: Κόκκινο χρωμίτη ως εγκλείσματα σε πισσόλιθο. Κατά μήκος φωγιών και περιφερειακά αντικαθίσταται από μαγνητίτη (δείγμα 18, στον πίν. 1). Ανακλόμενο φως, //Nicol, X200.

Fig. 5: Inclusion de chromite dans un pisolite. Au long de fissures et à la périphérie du cristal le chromite est remplacé par magnétite (échantillon 18, table 1). Lumière réfléchie, //Nicol, X200.

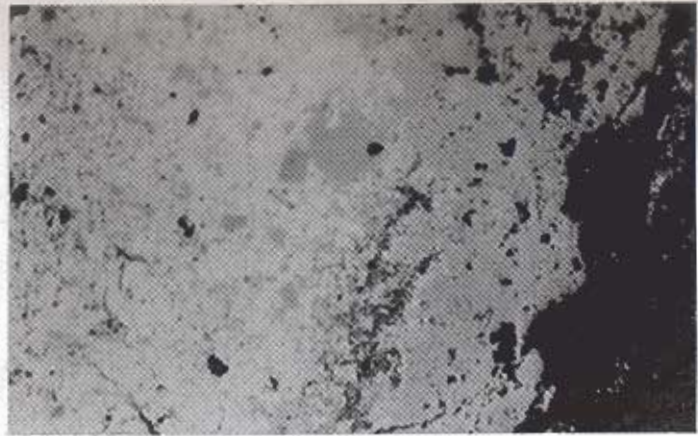
γνητίτη και χρωμίτη. Φλεβίδια από μαγνητίτη διαπερνούν την κύρια μάζα του λατερίτη ή αντικαθιστούν θρυμματισμένους κόκκους χρωμίτη.

Το λατερίτικο μετάλλευμα καλύπτεται από ένα κροκαλοπαγές πέτρωμα (κροκαλοπαγές επύκλυσης) (Σχ. 1), το οποίο αποτελείται, κυρίως, από κροκάλες μη λατεριτιωμένου σερπεντίνη, από πισσόλιθους λατερίτικου υλικού (μαγνητικούς) και από κόκκους μερικώς λατεριτιωμένου σερπεντίνη. Πρόκειται για αδιαβράχυπτο πέτρωμα με κροκάλες, μεγέθους έως 3cm και κόκκους σερπεντινικής άμμου, μεγέθους < 0,1 mm έως 2 mm. Το συνδετικό υλικό αποτελείται από σερπεντίνη. Φλεβίδια, τα οποία διαπερνούν κλαστικούς κόκκους

και συνδετικό υλικό, έχουν πληρωθεί με μαγνητίτη. Η διαπίστωση αυτή αποτελεί σαφή ένδειξη ότι, ο μαγνητίτης, τόσο στο λατερίτη όσο και στο κροκαλοπαγές επύκλυσης, σχηματίστηκε, εις βάρος του αιματίτη ή και λειμωνάτη, κατά τη διαγένεση, κατά την οποία επικρατούσαν αναγωγικές συνθήκες.

Ορθοπυρόδεξενος: Ο ορθοπυρόδεξενος περιέχει μικρές ποσότητες Al_2O_3 (0,81%-0,82%) και Cr_2O_3 (0,54%-0,58%, Πίν. 1 αναλύσεις 3 και 4). Είναι προφανές ότι, μέρος του χρωμίου και αργιλίου, που περιέχονται στο λατερίτη, προέρχεται από την αποσάθρωση του ορθοπυρόδεξενου.

Χρωμίτης: Πραγματοποιήθηκαν 19 μικροαναλύσεις χρωμιτών, εκ των οποίων, ορισμένες έγιναν στο κέντρο και την περιφέρεια του ιδίου χρυστάλλου, προκειμένου να διαπιστωθεί ενδεχόμενη μεταβολή στη χημική σύσταση του χρωμίτη, κατά τη

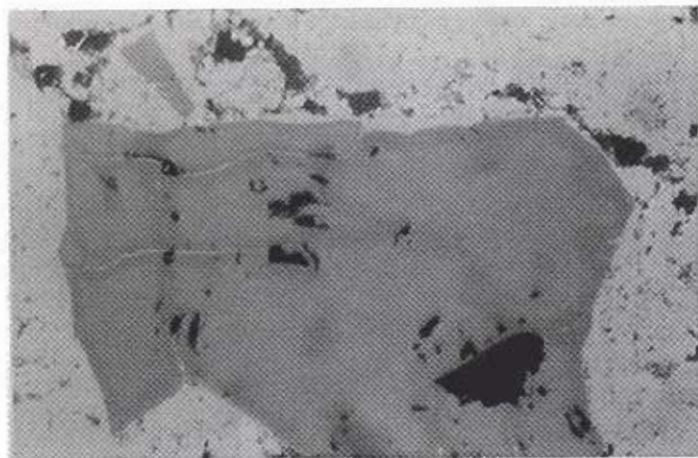


Σχ. 6: Πισσόλιθος. Το επωτερικό του τμήμα αποτελείται, κατεξοχήν, από αμαρίτη, ενώ η περιφέρειά του, από μαγνητίτη (δείγμα 18, σχ. 1). Ανακλώμενο φως, //Nicol, X200.

Fig. 6: Pissolite. Son partie interieur consiste surtout d' hematite, tandis que sa périphérie de magnetite (échantillon 18, fig. 1). Lumière réfléchie, //Nicol, X200.

θηκαν και σε χρωμίτες από τους λατερίτες της Λουζίδας και Κεντρικής Εύβοιας (Augustithis and Mposkos, 1980). Η περιεκτικότητα των χρωμιτών σε NiO κυμαίνεται από 0%-0,48%.

Ορικτά της ομάδας των σερπεντινών: Τα φυλλοπυριτικά ορυκτά αποτελούν την κυρίαρχη φάση στη σαπρολιθική ζώνη, ενώ παράλληλα συμμετέχουν, ως κύρια φάση, στη ζώνη του λατερίτη. Έγιναν 70 μικροαναλύσεις φυλλοπυριτικών ορυκτών, από όλους τους ορίζοντες, της νότιας τομής και από τον ελαφρά αποσαθρωμένο χαρτοβιούγγιτη, από τη βόρεια τομή. Αντιρροσωπευτικές μικροαναλύσεις δίδονται στους πίνακες 1 και 3.

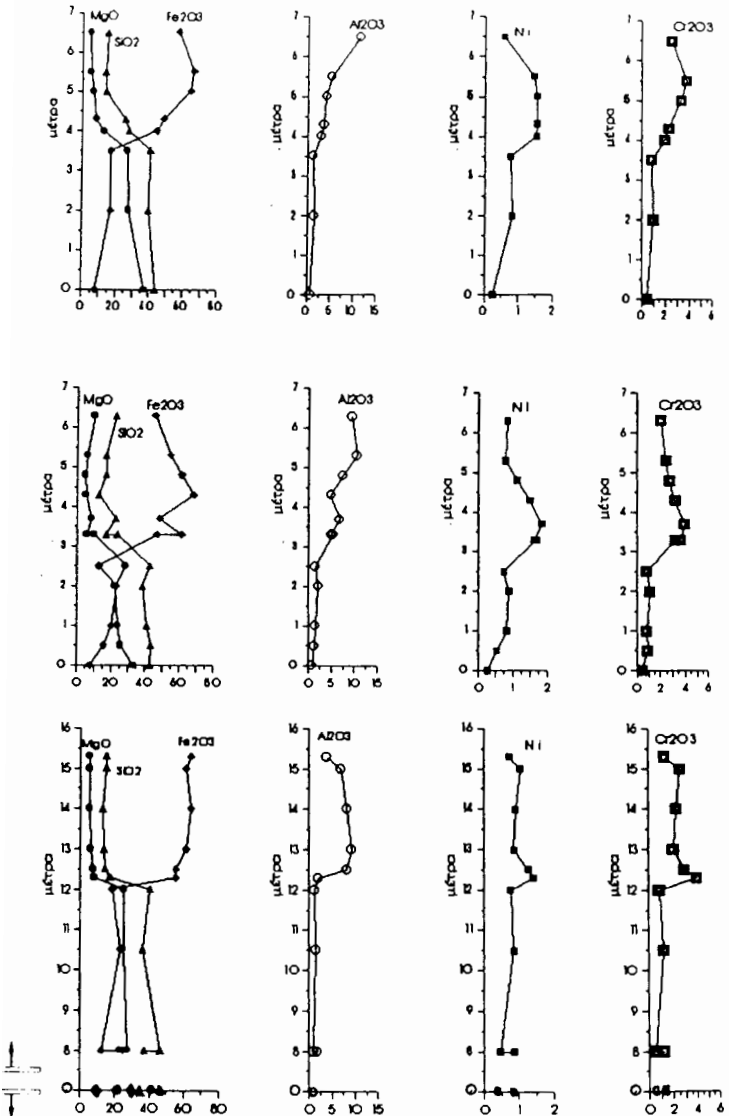


Σχ. 7: Κόκκινοι χρωμίτη, εξαλλοιωμένοι περιφερειακά και κατά μήκος φυρμών (σκουριότερες γκρι θέσεις), σε πλούσιότερο σε Al και Mg και φτωχότερο σε Cr και Fe χρωμίτη (δείγμα 18, στο σχ. 1). Ανακλώμενο φως, //Nicol, X500.

Fig. 7: Grains de chromite, alterés périphériquement et au long des fissures (gris foncé) vers un chromite plus riche en Al et Mg est plus pauvre en Cr et Fe (échantillon 18, fig. 1). Lumière réfléchie, //Nicol, X500.

λατερίτωση. Αντιρροσωπευτικές αναλύσεις, από αυτές, δίδονται στους πίνακες 1 και 2. Οι χρωμίτες είναι αργιλιούχοι χρωμίτες, στους οποίους το ποσοστό του σπινελίου κυμαίνεται μεταξύ 22% και 57%. Αναλύθηκε, εν τούτοις, και χρωμούχος σπινέλιος, με ποσοστό σπινελίου 82% (Πιν.2, αναλ. 3). Οι χρωμίτες και παρουσιάζουν ζωνώδη σύσταση δείχνουν μια σχετική αύξηση της περιεκτικότητας σε Al και Mg και αντίστοιχη μείωση σε Cr και Fe^{+2} , από το κέντρο προς την περιφέρεια (Πιν.2). Στη σπάνιη τομή παρουσιάζουν, συνήθως, σκουριότερη εξωτερική ζώνη, σε σχέση με το κέντρο (Σχ. 7). Τέτοια φαινόμενα αποχρωματισμού (decoloration margins) διαπιστώθηκαν και σε χρωμίτες από την Λουζίδα (Augustithis and Mposkos, 1980).

Στο σερπεντινιωμένο χαρτοβιούγγιτη (πρωτόλιθος), ο σερπεντίνης είναι λιζαρδίτης, με περιεκτικότητα σε FeO_{tot} 6,74% έως 8,21% και σε NiO 0,42% έως 0,67% (Πιν.1). Στα σερπεντινά ορυκτά της σαπρολιθικής ζώνης (δείγματα 2, 23 και 4, στον πίνακα 3) παρατηρείται σταδιακή αύξηση της περιεκτικότητας σε FeO_{tot} μέχρι 31% και σε NiO μέχρι 1,24%. Η περιεκτικότητα σε Cr_2O_3 κυμαίνεται μεταξύ 0% και 1,23%. Από την κατανομή του ολιγονίου σιδήρου σε Fe^{+2} και Fe^{+3} , η οποία έγινε για σύνολο 28 ατόμων οξευγόνου και 20 κατιόντων, προκύπτει ότι, πρόκειται για μικτούς κρυστάλλους



Σχ. 8: Κατανομή των οξειδίων SiO_2 , $\text{Fe}_2\text{O}_{3\text{tot}}$, MgO , Al_2O_3 , Cr_2O_3 και του Ni , στις τομές του Fe-Ni-ούχου λατερίτη Παλαιοχωράδου. Στον καταχόρυφο άξονα αναγράφεται η απόσταση των δειγμάτων από τη "βάση" (δείγματα 1, 9, 20-21) του λατεριτικού μανδύα.

Fig. 8: Distribution des oxydes SiO_2 , $\text{Fe}_2\text{O}_{3\text{tot}}$, MgO , Al_2O_3 , Cr_2O_3 et du Ni , dans le trois profils du Fe-Ni-laterite. Sur l' axe verticale sont inscrites les distances des échantillons de la "base" (échantillons 1, 9, 20-21) du laterite.

μαίνεται μεταξύ 7% και 12%, σε αμεσήτη ($\text{MggAl}_4\text{Si}_4\text{Al}_4\text{O}_{20}(\text{OH})_{16}$) μεταξύ 12%-19%, σε κρονοστενίτη μεταξύ 3% και 22% και σε γκριναλίτη μεταξύ 55% και 71%.

Η αύξηση του Al_2O_3 στους ανώτερους ορίζοντες του λατερίτη (Πιν.5 και Σχ. 1) εκφράζεται με αντίστοιχη αύξηση του Al_2O_3 (12-14%) στα ορυκτά της ομάδας των σερπεντινών. Στο δείγ-

μαίνεται μεταξύ 5% και 30%, σε γκριναλίτη μεταξύ 4% και 21% και σε σερπεντίνη μεταξύ 65% και 86%. Με αύξηση του βαθμού λατεριτίωσης (δείγματα 4 και 5, στο σχήμα 1), αυξάνει το ποσοστό τους σε γκριναλίτη, μέχρι 53%. Παράλληλα παρατηρείται αύξηση της περιεκτικότητας σε NiO μέχρι 2,25% (Πιν.3, ανάλυση 7).

Το ποσοστό του σιδήρου στα ορυκτά της ομάδας του σερπεντίνη αυξάνει σημαντικά ($\text{FeO}_{\text{tot}} 40-46\%$), στον αμέσως υπεροχέομενο ορίζοντα του λατερίτη (δείγμα 6, στο σχήμα 1, ανάλυση 8 στον πίνακα 3). Παράλληλα, διαπιστώνεται και ενδόμηση αργιλίου στο πλέγμα, σε ποσοστό Al_2O_3 που κυμαίνεται μεταξύ 3,39% και 5,4%. Το NiO κυμαίνεται μεταξύ 1,8% και 2,45%. Από τον υπολογισμό του χημικού τύπου 6 μικροαναλύσεων και την μελέτη του δείγματος με περιθλασμετρία ακτίνων-X, διαπιστώθηκε ότι, πρόκειται για νικελιούχο ορυκτό της ομάδας των σερπεντινών, στο οποίο το ποσοστό σε σερπεντίνη κυ-

Πίν. 1: Αντιπροσωπευτικές μικροαναλύσεις ολιβίνη, ορθοπυρόξενου, σερπεντίνη και χρωμίτη από χαρτοβουργίτη που υπόκειται του Fe-Ni-ούχου λατερίτη Παλαιοχωρίου.

	Ολιβίνης		Ορθοπυρόξενος		Σερπεντίνης		Χρωμίτης	
	1	2	3	4	5	6	7	8
SiO ₂	40.20	40.70	56.19	56.71	41.16	40.65	-	-
Al ₂ O ₃	-	-	0.82	0.81	-	-	22.19	21.41
FeO*	8.34	7.70	5.71	5.68	6.74	8.21	18.62	18.22
MgO	50.03	50.46	34.29	35.01	36.94	35.89	12.06	13.65
CaO	-	-	1.21	0.98	-	-	-	-
MnO	0.28	0.47	0.27	-	0.29	0.27	1.04	1.09
Cr ₂ O ₃	-	-	0.87	0.54	-	-	45.20	45.43
NiO	0.20	0.59	0.21	-	0.67	0.42	0.26	-
Σύνολο	99.32	99.92	99.58	99.74	85.81	85.44	99.37	99.78
Αριθμός κατιόντων / Ο (4)			(6)		(28)		(4)	
Si	0.993	0.993	1.955	1.961	8.004	7.985	-	-
Al	-	-	0.034	0.033	-	-	0.813	0.775
Fe ²⁺	0.171	0.157	0.166	0.164	1.097	1.349	0.407	0.346
Mg	1.830	1.834	1.778	1.805	10.708	10.508	0.559	0.625
Ca	-	-	0.045	0.036	-	-	-	-
Mn	0.006	0.010	0.008	-	0.048	0.044	0.027	0.028
Cr	-	-	0.024	0.015	-	-	1.111	1.103
Ni	0.004	0.012	0.006	-	0.106	0.066	0.006	-
Fe ³⁺	-	-	-	-	-	-	0.076	0.121

* = Ο ολικός σίδηρος προσδιορίστηκε ως FeO.

Η κατανομή του σιδήρου σε Fe²⁺+Fe³⁺, στο χρωμίτη, έγινε για σύνολο κατιόντων 3.

μα 7, το ποσοστό του αμεσίτη στα ορυκτά αυτά, κυμαίνεται μεταξύ 40% και 45%. Η περιεκτικότητά τους σε Cr₂O₃ κυμαίνεται μεταξύ 2,35% και 3,66% και σε NiO μεταξύ 2,70% και 3,75%. Τις υψηλότερες τιμές σε Al₂O₃ (20,91%-24,19%) παρουσιάζει το Al-Fe-ούχο σερπεντινικό ορυκτό μπερθιερίνης, στον ανώτερο ορίζοντα του λατερίτη (δείγμα 8, στο σχήμα 1). Η περιεκτικότητα του σε NiO κυμαίνεται μεταξύ 0,72% και 1,26% και σε Cr₂O₃ μεταξύ 0,6% και 2,13%.

Η υψηλότερη περιεκτικότητα σε Al₂O₃ και η χαμηλότερη σε NiO και Cr₂O₃, που παρουσιάζουν τα φυλλοπυριτικά ορυκτά του δείγματος 8, σε σύγκριση με εκείνα του δείγματος 7, που αντιπροσωπεύει τον αμέσως υποκείμενο λατεριτικό ορίζοντα, αποδίδεται στη διαφορετική χημική σύσταση που παρουσιάζουν οι δύο ορίζοντες του λατερίτη (σύγκρινε χημικές αναλύσεις των δειγμάτων 7 και 8 στον πίνακα 4).

Μαγνητίτης: Μεταξύ των οξειδίων του σιδήρου (μαγνητίτης, αιματίτης, γκαϊτίτης), που εμπεριέχονται στο σερπεντινίτη, το σαπρόδιλο και το λατερίτη, την επικρατέστερη φάση αποτελεί ο μαγνητίτης. Αντιπροσωπευτικές μικροαναλύσεις μαγνητίτη δίδονται στον πίνακα 2. Ο μαγνητίτης περιέχει μικρές ποσότητες μαγγανίου (MnO = 0%-1,8%, με μεσή τιμή από 28 αναλύσεις 0,74%), χρωμίου (Cr₂O₃ = 0%-4,22%, με μέση τιμή 1,25%) και νικελίου (NiO = 0,74%-2,5%, με μέση τιμή 1,12%). Υψηλότερες τιμές σε Cr και Ni παρουσιάζει ο μαγνητίτης

Πίν. 2: Αντιπροσωπευτικές μικροαναλύσεις χρωμάτη και μαγνητή από το Fe-Ni-ούχο λατερίτη Πάλαιοχωρίου.

Αριθμός Δείγματος	7		4		2		5		6		7		8	
	1 ^c	2 ^r	3	4	5	6	7	8	9	10				
Al ₂ O ₃	19.95	23.42	52.28	-	-	-	-	-	-	-	5.09	4.66		
Fe ₂ O ₃ *	3.48	4.49	1.11	68.09	68.25	68.87	65.90	65.97	60.62	61.46				
Cr ₂ O ₃	47.91	42.92	15.76	0.77	0.20	-	2.76	2.22	2.67	2.71				
FeO*	16.21	15.50	12.01	29.49	28.12	29.50	26.68	26.84	28.50	28.21				
MgO	12.02	12.51	17.95	-	-	-	0.99	-	0.89	0.99				
MnO	0.62	0.53	0.51	0.78	0.63	-	0.38	0.48	0.38	0.75				
NiO	-	0.48	0.28	0.74	2.11	1.54	2.20	2.50	1.71	1.53				
Σύνολο	100.2	99.87	100.01	99.87	99.32	99.91	98.91	99.02	99.87	100.32				

Αριθμός κατιόντων υπολογισμένα για 4 άτομα οξυγόνου

Al	0.735	0.850	1.645	-	-	-	-	-	-	0.223	0.204		
Fe ³⁺	0.081	0.104	0.022	1.976	1.994	2.000	1.916	1.931	1.698	1.717			
Cr	1.183	1.045	0.333	0.023	0.006	-	0.084	0.068	0.078	0.079			
Fe ²⁺	0.423	0.399	0.268	0.951	0.913	0.952	0.862	0.906	0.887	0.876			
Mg	0.560	0.574	0.714	-	-	-	0.057	-	0.049	0.055			
Mn	0.016	0.014	0.011	0.025	0.021	-	0.012	0.016	0.011	0.023			
Ni	-	0.012	0.006	0.023	0.006	0.048	0.068	0.078	0.051	0.046			

* = υπολογίσθηκε από τον ολικό σίδηρο για σύνολο κατιόντων 3 στο χημικό τύπο.

Αναλύσεις 1-3 χρωμάτης, 4-10 μαγνητής.

των πισσοσιλίθων από τους ορίζοντες του λατερίτη που είναι σχετικά πλούσιοι σε Cr και Ni, όπως π.χ. εκείνοι του δείγματος 7 (Πίν.2). Από τις αναλύσεις του πίνακα 2 γίνεται σαφές ότι, σημαντικό ποσοστό του Ni και του Cr που εμπεριέχεται στο λατερίτη, βρίσκεται ενδομημένο στο κρυσταλλικό πλέγμα του μαγνητή, δεδομένου ότι, ο μαγνητής αποτελεί κύρια ορυκτολογική φάση του λατερίτη, ιδιαίτερα στα ανώτερα 2 μέτρα του λατεριτικού ορίζοντα.

Γεωχημεία:

Χημικές αναλύσεις λατερίτη και σερπεντινιωμένου χαρτσβουργίτη, ο οποίος υπόκειται του λατερίτη, δίδονται στον Πίνακα 4. Τα δείγματα ελήφθησαν από τρεις παράλληλες γεωλογικές τομές από το νότιο, το μεσαίο και το βόρειο τμήμα του λατεριτικού σώματος. Οι θέσεις δειγματοληψίας σημειώνονται στις αντίστοιχες τομές του σχήματος 1.

Στο σχήμα (8) δίδεται η κατανομή των οξειδίων SiO₂, Fe₂O₃tot, MgO, Al₂O₃, Cr₂O₃ και του Ni, στις τρεις τομές, από τον μη λατεριτιωμένο σερπεντινιωμένο χαρτσβουργίτη μέχρι τον ανώτερο ορίζοντα του λατερίτη. Από την κατανομή αυτή γίνεται εμφανής η μείωση της περιεκτικότητας σε SiO₂ και MgO και η αύξηση σε Fe₂O₃tot, Al₂O₃, Cr₂O₃ και Ni από τον υποκείμενο σερπεντινιωμένο χαρτσβουργίτη προς τον λατερίτη. Μεταξύ του σερπεντινιωμένου χαρτσβουργίτη (δείγματα 1, 9 και 22 στο σχήμα 1) και του λατερίτη, παρεμβάλλεται μια μεταβατική ζώνη εξαλλοιωμένου σερπεντινίτη (σαπρολιθική ζώνη), της οποίας το πάχος κυμαίνεται μεταξύ 4 και 12 μέτρων (δείγματα 2-5, 10-13 και 23-26, στο σχήμα 1). Το μεγαλύτερο πάχος της ζώνης αυτής παρατηρείται στη βόρεια τομή, στην οποία το πάχος του ελαφρώς εξαλλοιωμένου

Ψηφιακή Βιβλιοθήκη "Θεόφραστος" - Τμήμα Γεωλογίας. Α.Π.Θ.

Πίν. 3: Αντιρροσωπευτικές μικροαναλύσεις ορυχτών της ομάδας του σερπεντίνη από το Fe-Ni-ούχο λατερίτη Παλαιοχωρίου.

Αριθμός Δειγμάτος	2		23		4		5		6		7		8	
	1	2	3	4	5	6	7	8	9	10				
SiO ₂	39.44	33.07	36.01	32.40	41.35	31.28	34.09	28.79	27.31	20.08				
Al ₂ O ₃	-	-	-	-	-	-	-	4.23	13.07	22.05				
FeO _{tot}	9.89	25.54	19.98	26.06	7.97	31.00	31.64	41.52	22.15	32.55				
MgO	36.45	25.00	26.67	26.04	36.86	20.96	15.87	7.24	16.11	7.04				
MnO	-	0.19	0.30	0.62	-	0.15	0.38	0.35	0.51	0.78				
Cr ₂ O ₃	-	0.42	0.35	1.23	0.44	0.46	1.86	1.14	3.66	1.91				
NiO	0.78	-	0.42	0.81	0.58	1.24	2.25	2.33	3.34	1.15				
Σύνολο	86.56	84.22	83.73	87.16	87.20	85.09	86.09	85.60	86.18	85.56				

Αριθμός κατιόντων υπολογισμένα για 28 άτομα οξυγόνου

Si	7.683	7.172	7.715	6.810	7.690	6.956	7.764	6.990	5.968	4.622				
Al	-	-	-	-	-	-	-	1.210	3.367	5.983				
Fe ³⁺	0.635	1.583	0.509	2.175	0.040	2.006	0.136	0.590	-	0.425				
Fe ²⁺	0.977	3.052	3.072	2.406	1.243	3.759	5.891	7.839	4.049	5.842				
Mg	10.583	8.085	8.517	8.156	10.578	6.947	5.388	2.622	5.250	2.416				
Mn	-	0.035	0.054	0.110	-	0.028	0.073	0.072	0.095	0.152				
Cr	-	0.072	0.059	0.205	0.067	0.081	0.335	0.219	0.632	0.348				
Ni	0.122	-	0.072	0.137	0.089	0.222	0.412	0.590	0.587	0.213				

Η κατανομή του Fe σε Fe³⁺ και Fe²⁺, στο χημικό τύπο, έγινε από τον ολικό σίδηρο για σύνολο 20 κατιόντων.

σερπεντινίτη ανέρχεται σε 10 μέτρα.

Η κατανομή των οξειδίων και του Ni, που παρουσιάζεται στις τρεις τομές του λατεριτικού μεταλλεύματος του Παλαιοχωρίου, αντιρροσωπεύει, σε γενικές γραμμές, τυπική εικόνα αυτόχθονου λατερίτη (Maynard, 1983). Διακυμάνσεις στη χημική σύσταση, εντός του ίδιου λατεριτικού ορίζοντα, όπως αυτές εκφράζονται στις τρεις τομές, παρατηρούνται, συχνά, σε λατεριτικά εδάφη.

Ο σίδηρος, ο οποίος βρίσκεται στον πρωτόλιθο υπό δισθενή, κατεξοχήν, μιορφή, κατά τη διάρκεια της χημικής αποσάθρωσης του σερπεντινιωμένου χαρτοβουργίτη, οξειδώνεται, εύκολα, σε τρισθενή, γίνεται δυσδιάλυτος και συγκεντρώνεται, υπό μιορφήν οξειδίων ή υδροξειδίων, στους ανώτερους ορίζοντες του λατερίτη. Κάτω από αναγωγικές συνθήκες, ο τρισθενής σίδηρος μπορεί να μετατραπεί σε δισθενή, να διαλυτοποιηθεί, εκ νέου, και να μεταφερθεί στους κατώτερους ορίζοντες του λατερίτη (Mercado 1986). Στο ανώτερο τμήμα του λατερίτη Παλαιοχωρίου, παρατηρείται σχετική μείωση της περιεκτικότητας σε Fe₂O₃tot, ιδιαίτερα στο νότιο και μεσαίο τμήμα της εμφάνισης (Σχ. 8), γεγονός που δείχνει ότι έλαβε χώρα διαλυτοποίηση και μετακίνηση του σιδήρου προς τα κάτω. Το επικρατέστερο οξειδίο του σιδήρου στο λατερίτη αποτελεί ο μαγνητίτης, γεγονός που σημαίνει ότι μέρος του σιδήρου βρίσκεται σε δισθενή μιορφή. Και στα φυλλοπυριτικά, ομώς, ορυκτά, ο δισθενής σίδηρος επικρατεί έναντι του τρισθενούς (βλέπε πίνακα 3). Αυτό σημαίνει ότι, στο λατερίτη όσο και στον υποκείμενο εξαλ-

Πίν. 4: Χημική σύσταση σερπεντινιωμένου χαρτοβουργίτη, σαπρόλιθου και λατερίτη από τη Fe-Ni-ούχο λατεριτική εμφάνιση του Παλαιοχωρίου. Οι αριθμοί των δειγμάτων αντιστοιχούν σε εκείνους του σχήματος 1.

A/a	SiO ₂	TiO ₂	Al ₂ O ₃	Fe ₂ O ₃	Cr ₂ O ₃	MnO	MgO	CaO	Na ₂ O	K ₂ O	Ni	Co	LOI	Μέτρα**
1	43.85	0	0.76	8.15	0.42	0.13	37.47	0.32	0.03	0.04	0.24	0.01	8.27	0.00
2	39.58	0	1.51	17.16	0.96	0.18	27.85	0.15	0.01	0.01	0.83	0.02	11.42	2.00
3	40.64	0	1.32	17.16	0.83	0.19	27.02	0.18	0.01	0.02	0.79	0.02	11.63	3.50
4	27.81	0	3.02	44.32	1.94	0.35	12.93	0.18	0.01	0.02	1.54	0.07	7.86	4.00
5	25.67	0	3.59	48.61	2.29	0.45	8.29	0.2	0.01	0.01	1.55	0.08	8.35	4.30
8	14.33	0	4.16	64.34	3.33	1.15	6.8	0.2	0.01	0.02	1.55	0.11	3.63	5.00
7	13.9	0.17	5.29	66.2	3.81	0.65	4.81	0.18	0.03	0.02	1.48	0.08	3.23	5.50
8	14.97	0.5	11.53	57.47	2.56	0.43	4.64	0.17	0.01	0.01	0.59	0.05	6.29	6.50
9	43	0	0.76	7.58	0.39	0.13	33.16	0.2	0.03	0.04	0.25	0.01	14.16	0.00
10	43.64	0	1.32	15.73	0.89	0.27	25.53	0.15	0.01	0.01	0.54	0.02	11.9	0.50
11	41.07	0	1.51	20	0.8	0.21	23.71	0.18	0.01	0.02	0.82	0.02	11.49	1.00
12	38.51	0	2.08	22.88	1.11	0.19	22.38	0.18	0.01	0.01	0.89	0.02	11.53	2.00
13	42.78	0	1.51	13	0.83	0.14	28.52	0.17	0.01	0.02	0.75	0	12.06	2.50
14	23.53	0.17	5.29	46.89	3.23	0.41	9.95	0.18	0.01	0.02	1.7	0.05	7.13	3.30
15	17.11	0	4.91	61.48	3.64	1.07	5.8	0.21	0.03	0.05	1.62	0.09	3.93	3.30
16	22.46	0.17	6.8	48.61	3.98	0.87	8.29	0.18	0.01	0.04	1.85	0.08	6.42	3.70
17	12.84	0.17	4.91	68.63	3.19	0.44	5.14	0.2	0.03	0.01	1.51	0.05	2.59	4.30
18	17.11	0.33	7.56	61.48	2.75	0.4	4.64	0.22	0.01	0	1.13	0.08	4.22	4.80
19	17.11	0.5	10.58	55.33	2.43	0.44	6	0.2	0.01	0	0.8	0.04	5.42	5.30
20	22.68	0.5	9.45	45.75	2.02	0.61	9.95	0.18	0.01	0.01	0.85	0.04	7.04	6.30
21	33.16	0.17	1.89	30.02	1.24	0.28	22.05	0.21	0.01	0.01	0.9	0.03	9.51	0.00
22	44.07	0.17	0.76	9.29	0.48	0.15	41.45	0.34	0.03	0.04	0.3	0.01	2.67	0.00
23	37.22	0.17	1.7	24.3	1.27	0.26	23.21	0.24	0.01	0.01	0.87	0.03	10.43	8.00
24	46.21	0.17	0.94	12.44	0.6	0.21	27.19	0.42	0.06	0.04	0.47	0.02	10.62	8.00
25	36.37	0.17	1.51	22.88	1.23	0.28	24.87	0.21	0.01	0.02	0.87	0.03	10.89	10.50
26	40.64	0.17	1.13	18.59	0.89	0.37	25.2	0.22	0.01	0.01	0.78	0.02	11.27	12.00
27	17.11	0.17	2.08	55.76	3.93	0.43	7.79	0.28	0.03	0.02	1.42	0.04	10.62	12.30
28	13.9	0.33	8.31	55.76	2.94	0.39	7.29	0.24	0.01	0.01	1.28	0.06	9.08	12.50
29	13.48	0.5	9.26	61.48	2.03	0.39	5.8	0.24	0.01	0.01	0.86	0.05	5	13.00
30	12.84	0.33	8.12	64.34	2.27	0.4	4.97	0.24	0.03	0.01	0.91	0.07	4.65	14.00
31	14.97	0.33	7	61.48	2.63	0.54	5.47	0.31	0.03	0.01	1.06	0.07	5.21	15.00
32	14.97	0.17	3.78	64.34	1.4	0.45	5.47	0.38	0.01	0.01	0.73	0.04	7.5	15.30

** Απόσταση των δειγμάτων από τη βάση του λατεριτικού μανδύα.

λοιωμένο σερπεντινίτη επικρατούσαν, είτε κατά το στάδιο της λατεριτίωσης (κατά περιόδους), είτε κατά τη διαγένεση, μέτριες αναγωγικές συνθήκες, οι οποίες διευκόλυναν τη μερική μετακίνηση του σιδήρου προς τα κάτω.

Το αργιλίο που εμπεριέχεται στο σερπεντινιωμένο χαρτοβουργίτη, σε ποσοστό Al₂O₃ 0,76% (Πίν. 4 αναλύσεις 1, 9, 22) βρίσκεται ενδομημένο, εν μέρει, στο κρυσταλλικό πλέγμα του χρωμίτη και εν μέρει στο πλέγμα του ορθοπυροξενου (Πίν. 1). Επειδή το Al διαλυτοποιείται σε τιμές pH μικρότερες του 4 και μεγαλύτερες του 9, τιμές που συνήθως δεν επικρατούν στα νερά των λατεριτικών εδαφών (Golighly 1981, Burgert 1979), παραμένει κατά τη διάσπαση των πυριτικών ορυκτών, στις υπολειμματικές φάσεις του λατερίτη. Οπως φαίνεται στο σχήμα (8), το Al₂O₃ παρουσιάζεται ιδιαίτερα εμπλουτισμένο στη ζώνη του λατερίτη. Στη ζώνη αυτή, η περιεκτικότητα σε Al₂O₃ κυμαίνεται μεταξύ 2,08% και 11,53%, με μέση τιμή 6,83%, γεγονός που συνεπάγεται μέση αύξηση της περιεκτικότητας σε Al₂O₃ κατά εννέα φορές. Το αργιλίο, ενδομείται, κατεξοχήν, στα φυλλοπυριτικά ορυκτά της ομάδας των σερπεντινών, στα οποία η περιεκτικότητα σε Al₂O₃ αυξάνει ανάλογα με εκείνη του λατερίτη (σύγκρινε περιεκτικότητα σε Al₂O₃ στα ορυκτά της ομάδας των σερπεντινών, Πιν. 3 και περιεκτικότητα σε Al₂O₃, στα αντίστοιχα δείγματα, του λατερίτη, Πιν.4). Ο μαγνητίτης, ο οποίος αποτελεί κυρίαρχη φάση στο λατερίτη, φαίνεται να δεσμεύει αμεληταίς ποσότητες αργιλίου, με εξαίρεση εκείνο του δείγματος 8, το οποίο παρουσιάζει την υψηλότερη τιμή σε Al₂O₃ (11,53%). Στο δείγμα αυτό, μέρος του αργιλίου βρίσκεται ενδομημένο και στον μαγνητίτη (Al₂O₃ = 4.66% - 5.03%, Πιν.2). Η απότομη αύξηση του Al₂O₃ που παρατηρείται στον ανώτερο ορίζοντα του λατερίτη, στο νότιο τμήμα της εμφάνισης και η σταδιακή μείωσή του στον ίδιο ορίζοντα, στο μεσαίο και βόρειο τμήμα της οφείλεται, πιθανά, σε μεταφορά λεπτομερούς λατεριτικού υλικού από βορρά προς νότο, κατά την περίοδο της λατεριτικής αποσάθρωσης ή κατά την περίοδο της επίκλυσης

Πίν. 5: Ποσοτικές μεταβολές των οξειδίων και των μετάλλων Ni και Co κατά τη διάρκεια της αποσάθρωσης του σερπεντινιωμένου χαρτοβουργίτη Παλαιοχωρίου.

% βάρους	A	B	1	2	3	C	1	2	3	D	1	2	3
SiO ₂	43.94	39.66	19.58	-24.36	-55.44	16.29	2.02	-41.92	-95.40	17.71	1.52	-42.42	-96.54
Al ₂ O ₃	0.77	1.56	0.77	0	0	6.20	0.77	0	0	8.98	0.77	0	0
Fe ₂ O _{3tot}	8.40	20.27	10.01	+1.6	+19.05	60.30	7.49	-0.91	-10.83	56.62	4.85	-3.55	-42.26
MnO	0.14	0.24	0.12	-0.02	-14.28	0.61	0.08	-0.06	-42.85	0.49	0.04	-0.10	-71.43
MgO	37.62	25.16	12.42	-25.20	-66.98	6.46	0.80	-36.82	-97.87	6.62	0.57	-37.05	-98.48
Cr ₂ O ₃	0.43	1.02	0.50	+0.07	+16.28	3.17	0.39	-0.04	-9.30	2.13	0.18	-0.25	-58.14
Ni	0.26	0.80	0.39	+0.13	+50.00	1.37	0.17	-0.09	-34.61	0.75	0.06	-0.20	-76.92
Co	0.01	0.02	0.01	0	0	0.07	0.009	-0.001	-10.00	0.04	0.003	-0.007	-70.00
A.Π.	8.43	11.27	5.56	-2.87	-34.05	5.53	0.69	-7.74	-91.81	6.66	0.57	-7.86	-93.23
Σύνολο	100	100	49.37	-50.65		100	12.42	-87.50		100	8.75	-91.43	

A = Σερπεντινιωμένος χαρτοβουργίτης (μέση τιμή των αναλύσεων 1, 9 και 22 στον πίνακα 4).

B = Αποσάθρωμένος σερπεντινίτης, της σαπρολιθικής ζώνης (μέση τιμή των αναλύσεων 2, 3, 10, 11, 12, 13, 21, 23, 25 και 26, στον πίνακα 4).

C = Λατερόίτης υπεροχείμενος της σαπρολιθικής ζώνης (μέση τιμή των αναλύσεων 6, 7, 14, 15, 16, 17, 18, 27, 28, 29, 30 και 31, στον πίνακα 4).

D = Ανώτερος ορίζοντας λατερόιτη (μέση τιμή των αναλύσεων 8, 19, 20 και 32, στον πίνακα 4).

- Γραμμάρια κάθε συστατικού που εμπεριέχονται σε 49,37 γραμμάρια σαπρόλιθου ή σε 12,42 και 8,75 γραμμάρια, αντίστοιχα, λατερόιτη, που προέρχεται από 100 γραμμάρια σερπεντινιωμένου χαρτοβουργίτη, προϋποθέτοντας ότι το Al₂O₃ παραμένει αμετάβλητο.
- Απώλειες ή κέρδη, σε γραμμάρια, κάθε συστατικού, κατά τη μετατροπή 100 γραμμαρίων σερπεντινιωμένου χαρτοβουργίτη σε 49,37 γραμμάρια σαπρολίτη ή σε 12,42 και 8,75 γραμμάρια, αντίστοιχα, λατερόιτη, προϋποθέτοντας ότι το Al₂O₃ παραμένει αμετάβλητο.
- Απώλεια ή κέρδος (%), συστατικών, κατά την αποσάθρωση του σερπεντινιωμένου χαρτοβουργίτη, Παλαιοχωρίου.

του Μειοκαίνου.

Στο σερπεντινιωμένο χαρτοβουργίτη (πρωτόλιθο), η περιεκτικότητα σε Ni κυμαίνεται μεταξύ 0,24% και 0,30%. Στον ελαφρά εξαλλοιωμένο σερπεντινίτη της σαπρολιθικής ζώνης (δείγματα 2, 3, 10 - 13, 21, 23, 25 και 26) η τιμή του Ni αυξάνει στο 0,54%-0,89% και στον έντονα εξαλλοιωμένο μέχρι 1,55% (δείγμα 5). Στο λατερόιτη (δείγματα 6 - 8, 14 - 20 και 27 - 32), η περιεκτικότητα σε Ni κυμαίνεται μεταξύ 0,59% και 1,85%, με μέση περιεκτικότητα 1,2% Ni, παρατηρείται, δηλαδή, μέση αύξηση του Ni κατά 4,5 φορές, σε σχέση με εκείνη του χαρτοβουργίτη. Γενικά, οι υψηλότερες τιμές σε Ni διαπιστώνονται στη βάση του λατερόιτη και στα ανώτερα τμήματα της σαπρολιθικής ζώνης. Αντίστοιχη κατανομή Ni παρατηρήθηκε σε πολλά λατεροιτικά εδάφη (Mercado, 1986, Ogura, 1977, Schellman, 1971).

Συγκρίνοντας τον μέσο συντελεστή εμπλούτισμού του Ni στο λατερόιτη (4,5), με εκείνο του Al₂O₃ (8,9), προκύπτει ότι, σημαντικό μέρος του Ni, που ελευθερώθηκε κατά τη λατεροιτική αποσάθρωση του χαρτοβουργίτη, μετανάστευσε από τη ζώνη του λατερόιτη προς τα κάτω και δεσμεύθηκε στα φυλλοπυριτικά ορυκτά του μερικώς εξαλλοιωμένου σερπεντινίτη, στον οποίο, δημιουργήθηκε, το Ni αυξήθηκε από 0,26% (μέση τιμή των δειγμάτων 1, 9 και 22) σε 0,54%-0,89%. Το Ni που εμπεριέχεται και στο λατερόιτη και στον μερικώς εξαλλοιωμένο σερπεντινίτη.

Ψηφιακή Βιβλιοθήκη "Θεόφραστος" - Τμήμα Γεωλογίας. Α.Π.Θ.

ντινίτη, βρίσκεται ενδομημένο στο κρυσταλλικό πλέγμα των φυλλοπυριτικών ορυκτών και του μαγνητίτη. Ειδικά στο λατερίτη, όπου ο μαγνητίτης αποτελεί κύριο ορυκτό, σημαντικό ποσοστό του Ni, είναι δεσμευμένο στο μαγνητίτη, υπό μορφή NiFe_2O_4 .

Σύμφωνα με τον Maynard (1983), σε συνθήκες μέτριου έως χαμηλού pH το Ni μπορεί να σχηματίσει μικτές φάσεις οξειδίων Fe-Ni. Ομως, σε τιμές pH μεγαλύτερες των 7 το Ni ενδομείται, κατά προτίμηση, σε πυριτικές φάσεις. Η τιμή του pH στα νερά των λατεριτικών εδαφών αυξάνει, συνήθως, από το 5 μέχρι το 8,5 από την κορυφή της ζώνης των οξειδίων μέχρι τη βάση της σαπρολιθικής ζώνης (Golightly 1981, Burger 1979). Ας σημειωθεί ότι, το Ni, ακόμη και εάν είναι ενωμένο σε σιδηρούχο φάση, παρουσιάζει μια μέτρια διαλυτότητα, η οποία ελαττώνεται, δραστικά, στην περιοχή σταθερότητας των πυριτικών ενώσεων (Maynard 1983). Εποι, αναμένεται να εκχυλίζεται το Ni, βραδέως, από τη ζώνη στην οποία επικρατούν οι φάσεις των οξειδίων και να επανακατακρημνίζεται, από το διάλυμα, στη σαπρολιθική ζώνη. Η συμπεριφορά αυτή του Ni δικαιολογεί την ελάττωση της τιμής του στο ανώτερο τμήμα του λατερίτη. Η δεσμευσή του στα φυλλοπυριτικά ορυκτά του εξαλλοιωμένου σερπεντινίτη, αποδίδεται στην αντικατάσταση του Mg από Ni, δεδομένου ότι, ο Ni-ούχος σερπεντίνης, όπως και ο Fe-ούχος, παρουσιάζουν πολύ χαμηλότερη διαλυτότητα έναντι του Mg-ούχου (Burns 1970).

Η κατανομή του χρωμίου, στις τρεις τομές, παρουσιάζει μεγάλη ομοιότητα με εκείνη του Ni (Σχ. 8). Το Cr_2O_3 παρουσιάζει τις μεγαλύτερες τιμές στη βάση του λατερίτη. Ομοια κατανομή του χρωμίου σε λατεριτικούς μανδύες, που σχηματίσθηκαν από την αποσάθρωση σερπεντινιωμένων περιδοτιών, σε περιοχές των Φιλιππίνων, αναφέρονται από την Mercado (1986). Σημαντικό ποσοστό του χρωμίου βρίσκεται ενδομημένο στους κόκκους των χρωμιτών. Επειδή οι χρωμίτες παρουσιάζουν μεγάλη ανθεκτικότητα στην αποσάθρωση, η αυξημένη συγκέντρωση του χρωμίου, στη βάση του λατερίτη, αποδίδεται, κυρίως, στην αποδέσμευσή του, κατά τη διάρκεια της αποσάθρωσης, από το πλέγμα των πυροξένων, στους οποίους το Cr_2O_3 κυμαίνεται μεταξύ 0,54% και 0,87% (Πίν. 1) και τον εμπλουτισμό του στη βάση του λατερίτη. Βέβαια, μικρό ποσοστό χρωμίου φαίνεται να απομακρύνεται και από τον χρωμίτη, όπως διαπιστώθηκε από τη χημική σύσταση χρωμιτών, με ζωνώδη σύσταση, στους οποίους ελαττώνεται η περιεκτικότητα σε Cr_2O_3 και αυξάνει η περιεκτικότητα σε Al_2O_3 , στις εξωτερικές ζώνες, σε σχέση με το κέντρο του κρυστάλλου (Πίν. 2).

Οι χημικές μετατροπές που έλαβαν χώρα κατά τη διάρκεια της αποσάθρωσης του σερπεντινιωμένου χαρτσβουργίτη, Παλαιοχωρίου, μπορεί να ιχνηλατηθούν στα διάφορα στάδια της αποσάθρωσης του πρωτόλιθου, συγκρίνοντας τη χημική σύσταση των προϊόντων της αποσάθρωσης με εκείνη του μη αποσαθρωμένου πετρώματος. Προκειμένου να δοθεί ακριβής παρουσίαση των πραγματικών αλλαγών που έλαβαν χώρα, θεωρήθηκε ότι, το Al_2O_3 παρέμεινε αμετάβλητο κατά τη διάρκεια των διεργασιών της αποσάθρωσης. Γενικά, σε ανάλογους υπολογισμούς λαμβάνεται ως σταθερό το Al_2O_3 , είτε το Cr_2O_3 . Οφισμένοι ερευνητές (Mercado, 1986) λαμβάνουν ως σταθερό το Cr_2O_3 , λόγω της μεγάλης ανθεκτικότητας που παρουσιάζει ο χρωμίτης στην αποσάθρωση. Ομως, στην περίπτωση του λατερίτη Παλαιοχωρίου διαπιστώθηκε ότι, ο χρωμίτης αντικαθίσταται μερικώς από μαγνητίτη και σε ορισμένες περιπτώσεις παρουσιάζει ζωνώδη εξαλλοίωση. Επί πλέον, η κατανομή του Cr_2O_3 στα τρία λατεριτικά προφίλ δείχνει ότι, έλαβε χώρα μετακίνηση του χρωμίου και εμπλουτισμός του στον κατώτερο ορίζοντα του λατερίτη.

Σαφής εικόνα των απωλειών ή κερδών, σε διάφορα συστατικά, κατά τη διάρκεια των διαφόρων σταδίων της αποσάθρωσης του σερπεντινιωμένου χαρτσβουργίτη, Παλαιοχωρίου, διδεται στον Πίνακα 5. Τα πινακοποιημένα αποτελέσματα δείχνουν ότι, στον αποσαθρωμένο σερπεντινίτη (σαπρόλιθο), που υπόκειται του λατερίτη, εκχυλίσθηκε το 50,65% του βάρους του αρχικού πετρώματος. Κατά το στάδιο αυτό της αποσάθρωσης, απομακρύνθηκε από το μητρικό

πέτρωμα το 55,44% του SiO_2 και το 66,98% του MgO , ενώ, αντίθετα, προστέθηκε Fe_2O_3 το σε ποσοστό 19,05%, Cr_2O_3 , 16,28% και Ni 50%, σε σχέση με τα ποσοστά των συστατικών αυτών, που υπήρχαν στο μητρικό πέτρωμα. Η μετατροπή του σερπεντινιωμένου χαρτοβουργίτη σε λατερίτη είχε ως αποτέλεσμα την απομάκρυνση του 87%-91% των συστατικών του πρωτόλιθου. Παρατηρείται, πράγματι, ότι, απομακρύνονται όλα τα συστατικά του πρωτόλιθου, άλλα σε μεγαλύτερο και άλλα σε μικρότερο ποσοστό. Τις μεγαλύτερες απώλειες παρουσιάζουν το SiO_2 (95,4%-96,54%) και το MgO (97,87%-98,48%). Οι απώλειες σε Fe_2O_3 το ανέρχονται σε 10,83%, σε Cr_2O_3 9,30% και σε Ni 34,61%. Στον ανώτερο ορίζοντα του λατερίτη, οι απώλειες σε Fe_2O_3 το φθάνουν το 42,26%, σε Cr_2O_3 το 58,14% και σε Ni το 76,92%, σε σχέση με τα ποσοστά που περιέχονταν στο μητρικό πέτρωμα.

Από τα στοιχεία του πίνακα 5 γίνεται εμφανές ότι, κατά τη λατερίτιωση του σερπεντινιωμένου χαρτοβουργίτη απομακρύνθηκαν σημαντικές ποσότητες Fe , Cr και Ni από το τμήμα του λατερίτη, οι οποίες, τονόλαχιστον κατά ένα μέρος, δεσμεύθηκαν, εκ νέου, στον υποκείμενο ορίζοντα της σαπρολιθικής ζώνης.

Συμπεράσματα

Από τις παρατηρήσεις υπαίθρου, όπως και από την πετρολογική και τη γεωχημική μελέτη του Fe-Ni -ούχου λατερίτη Παλαιοχωρίου, στο νομό Γρεβενών, προέκυψαν τα ακόλουθα:

α: Ο λατερίτης του Παλαιοχωρίου είναι αυτόχθονος λατερίτης. Σχηματίσθηκε από την αποσάρδωση του υποκείμενου σερπεντινιωμένου χαρτοβουργίτη, πριν από την επίκλυση του Μειόκαινου. Το μέγιστο πάχος του λατεριτικού ορίζοντα ανέρχεται σε 3 μέτρα. Μεταξύ του λατεριτικού ορίζοντα και του μη εξαλλοιωμένου σερπεντινίτη, παρεμβάλλεται η σαπρολιθική ζώνη, της οποίας το πάχος κυμαίνεται από 4 μέτρα, στη NNA πλευρά της εμφάνισης, μέχρι τα 12 μέτρα στη BBΔ. Το πάχος της σαπρολιθικής ζώνης, που έχει υποστεί εντονότερου βαθμού αποσάρδωση, κυμαίνεται μεταξύ 1 και 2,5 μέτρων.

β: Στον ολιγότερο σερπεντινιωμένο χαρτοβουργίτη διατηρούνται, σε μεγάλο βαθμό, τα πρωτογενή ορυκτά ολιβίνης, ορθοπυρόξενος και χρωμίτης. Στον ολιβίνη, η περιεκτικότητα σε NiO κυμαίνεται μεταξύ 0,20% και 0,59%. Ο ορθοπυρόξενος είναι αργιλιούχος ($\text{Al}_2\text{O}_3 = 0,8\%-0,82\%$) και χρωμιούχος ($\text{Cr}_2\text{O}_3 = 0,54\%-0,58\%$). Ο σερπεντίνης είναι σιδηρούχος λιζαρδίτης, με περιεκτικότητα σε FeO το που κυμαίνεται μεταξύ 6,74% και 8,21% και σε NiO μεταξύ 0,42% και 0,67%.

γ: Στη σαπρολιθική ζώνη επικρατούν τα Fe-Mg -ούχα φυλλοπυριτικά ορυκτά, της ομάδας των σερπεντινών. Πρόκειται για μικτούς κρυστάλλους μεταξύ 5 σερπεντίνη, κρονοστενδίτη και γκριναλίτη. Οξείδια σιδήρου, κατεξοχήν μαγνητίτης, σχηματίζουν συγκρόμματα στη μάζα του εξαλλοιωμένου σερπεντινίτη. Στην κατώτερη ζώνη του σαπρολίθου τα σερπεντινικά ορυκτά είναι κυρίως μαγνησιούχα. Το ποσοστό τους σε κρονοστενδίτη κυμαίνεται μεταξύ 5% και 30% και σε γκριναλίτη μεταξύ 4% και 21%. Το NiO κυμαίνεται μεταξύ 0,41% και 1,27%. Στην ανώτερη ζώνη του σαπρολίθου, στα ορυκτά της ομάδας των σερπεντινών, αυξάνει η περιεκτικότητα σε Fe και Ni . Το ποσοστό τους σε γκριναλίτη ανέρχεται μέχρι και 53%, η δε περιεκτικότητά τους σε NiO μέχρι 2,25%.

δ: Στη βάση της ζώνης του λατερίτη τα σερπεντινικά ορυκτά γίνονται πλουσιότερα σε Fe και Ni ($\text{NiO} = 1,8\%-2,45\%$), ενώ παράλληλα περιέχουν στο πλέγμα τους και Al (ενδόμηση μορίου αμεσίτη). Το ποσοστό τους σε γκριναλίτη κυμαίνεται μεταξύ 55% και 71%, σε κρονοστενδίτη μεταξύ 3% και 22%, σε σερπεντίνη μεταξύ 7% και 12% και σε αμεσίτη μεταξύ 12% και 19%. Προς τα επάνω ο λατερίτης γίνεται σταδιακά πισσολιθικός, με αύξηση του ποσοστού των πισσολίθων προς τους ανώτερους ορίζοντες. Οι πισσόλιθοι αποτελούνται κατεξοχήν από μαγνητίτη. Στα ορυκτά της ομάδας των σερπεντινών αυξάνει το ποσοστό του αμεσίτη σε 40%.

45%. Αυξημένη παρουσιάζεται επίσης η περιεκτικότητά τους σε Cr_2O_3 (2,35%-3,66%) και σε NiO (2,70%-3,75%). Στον ανώτερο ορίζοντα του λατερίτη τα ορυκτά της ομάδας των σερπεντίνων γίνονται πλουσιότερα σε Al ($\text{Al}_2\text{O}_3 = 20,91\%-24,19\%$), με χημική σύσταση όμοια με εκείνη του μπεθιερίνη, αλλά φτωχότερα σε NiO (0,72%-1,26%) και σε Cr_2O_3 (0,60%-2,13%).

Ο μαγνητίτης είναι Ni-ούχος και Cr-ούχος. Το NiO χυμαίνεται μεταξύ 0,74% και 2,5%, με μέση τιμή 1,12% και το Cr_2O_3 μεταξύ 0,2% και 2,76%, με μέση τιμή 1,25%. Επειδή ο μαγνητίτης αποτελεί κύρια ορυκτολογική φάση του λατερίτη, σημαντικό μέρος του Ni και του Cr, που εμπεριέχεται στο λατερίτη, είναι δεσμευμένο στο κρυσταλλικό πλέγμα του μαγνητίτη.

ε: Η κατανομή του SiO_2 , MgO , $\text{Fe}_2\text{O}_3\text{tot}$, Al_2O_3 , Cr_2O_3 και του Ni, στα τοία λατερίτικα προφίλ, αντιπροσωπεύει, σε γενικές γραμμές, τυπική εικόνα αυτόχθονου λατερίτη (Maynard 1983, Schellman 1971). Διαπιστώνεται μείωση της περιεκτικότητας σε SiO_2 και MgO και αύξηση εκείνης σε $\text{Fe}_2\text{O}_3\text{tot}$, Al_2O_3 , Cr_2O_3 και Ni από τον υποκείμενο σερπεντίνιωμένο χαρτοβουργίτη προς το λατερίτη. Οι μεγαλύτερες συγκεντρώσεις σε Cr_2O_3 και σε Ni παρουσιάζονται στη βάση του λατερίτικου ορίζοντα.

Στο λατερίτικο ορίζοντα, το Al_2O_3 παρουσιάζει το μεγαλύτερο συντελεστή εμπλουτισμού (8,9). Οι υψηλότερες συγκεντρώσεις σε Al_2O_3 διαπιστώνονται προς τους ανώτερους ορίζοντες του λατερίτη. Θεωρώντας ότι, το Al_2O_3 του σερπεντίνιωμένου χαρτοβουργίτη παραμένει αμετακίνητο, κατά τη διάρκεια των διεργασιών της αποσάθρωσης, προκύπτει ότι, στη ζώνη του σαπρόλιθου, που υπόκειται του λατερίτη, απομακρύνθηκε το 50,65% του βάρους του αρχικού πετρώματος. Συγκεκριμένα, απομακρύνθηκε το 55,44% του SiO_2 και το 66,98% του MgO , ενώ συγχρόνως προστέθηκε $\text{Fe}_2\text{O}_3\text{tot}$ κατά 19,05%, Cr_2O_3 κατά 16,28% και Ni κατά 50%, σε σχέση με εκείνα που υπήρχαν στο μητρικό πέτρωμα.

Κατά τη μετατροπή του σερπεντίνιωμένου χαρτοβουργίτη σε λατερίτη, απομακρύνθηκε το 87%-91% των συστατικών του πρωτόλιθου. Απομακρύνθηκαν όλα τα συστατικά, άλλα σε μεγαλύτερο και άλλα σε μικρότερο ποσοστό. Τις μεγαλύτερες απώλειες παρουσιάζουν το SiO_2 (95,4%-96,54%) και το MgO (97,87%-98,48%). Οι απώλειες σε $\text{Fe}_2\text{O}_3\text{tot}$ ανέρχονται σε 10,83%, σε Cr_2O_3 9,30% και σε Ni 34,61%. Στον ανώτερο ορίζοντα του λατερίτη οι απώλειες σε Fe, Cr και Ni είναι ακόμη μεγαλύτερες. Μέρος από τις απώλειες σε Fe, Cr και Ni δεσμεύθηκαν, εκ νέου, στον υποκείμενο ορίζοντα της σαπρολιθικής ζώνης.

Βιβλιογραφία

- AUGUSTITHIS, S.S. and MPOSKOS, E., (1980): Differential leaching of Fe and Cr from chromite grains in laterites and birbrirites. UNESCO, Inter.Symp. on Metallogeny of mafic and ultramafic complexes. Athens, V.1, 214-226.
- BAKONΔΙΟΣ, I., ΓΡΙΒΑΣ, H., (1993): Τα σιδηρονικελιούχα κοιτάσματα του οφιολιθικού συμπλέγματος του Βούρινου. Ι.Γ.Μ.Ε. πρόδρομη έκθεση.
- ΒΡΑΧΑΤΗΣ, Γ., (1977): Επί της κοιτασματολογικής αναγνωρίσεως εμφανίσεων τινών Fe-Ni μεταλλεύματος των Ν.Γρεβενών-Κοζάνης. Αδημοσίευτη έκθεση ΙΓΜΕ Κοζάνης.
- BURGER, P.A., (1979): The Greenvale nickel laterite ore body. In D.J.I. Evans, R.S. Shoemaker and H.Veltman, Eds. International laterite Symposium. Amer.Inst.Mining, Metal. and Petroleum Engineers, New York 24-37.
- BURNS, R.G., (1970): Mineralogical Applications of crystal field theory, Cambridge University Press, Cambridge 224 pp.
- GOLIGHTLY, J.P., (1981): Nickeliferous laterite deposits: Econ. Geol., 75 Anniv. Vol., 710-735.
- MAYNARD, J.B., (1983): Geochemistry of sedimentary ore deposits. Springer-Verlag, New York Heidelberg. Berlin, 305 p.p.
- MERCADO, J.M. (1986): Geochemistry of the laterites in Nonoc islands, Surigao province, Phil-

- ippines, UNESCO IGCP. Proceedings of Intern.Seminar on Lateritisation processes. A.A. BALKEMA/ROTTERDAM 45-57.
- OGURA, Y., (1977): Mineralogical studies on the occurrence of nickeliferous laterite deposits in the Southwestern Pacific area: Mining Geol. V.27, 379-399.
- ΠΕΡΔΙΚΑΤΣΗΣ, Β., (1986): Ένα πρόγραμμα για τον γενικό υπολογισμό του συντακτικού τύπου των ορυχών. Ι.Γ.Μ.Ε. Γεωλ. και Γεωφ. Μελέτες. Τόμος εκτός σειράς, 377-380.
- PLASTIRAS, V., (1980): Contribution to the knowledge of lateritic type formations of N.W.Macedonia. UNESCO, Inter.Symp. on Metllogeny of mafic and ultramafic complexes. Athens, V.1, 355-370.
- SCHELLMANN, W., (1971): Ueber Beziehungen laterisischer Eisen-, Nickel-, Aluminium- und Manganerze zu ihren Ausgangesteinen: Min.Depos. V.6, 275-291.
- SKARPELIS, N., LASKOU, M., and ALEVISOS, G., (1993): Mineralogy and geochemistry of the nickeliferous lateritic iron-ores of Kastoria, N.W.Greece. Chem.Erde, 53, 331-339.